

## مروری بر حساس‌کننده‌های باکتریایی قابل استفاده در ابزارهای فتوولتاویک

مژگان حسین‌نژاد<sup>\*</sup>، سید مسعود اعتضاد<sup>۲</sup>

۱- استادیار، الف) گروه پژوهشی مواد رنگزای آلی؛ ب) قطب علمی رنگ، پژوهشگاه رنگ، تهران، ایران، صندوق پستی: ۱۶۷۶۵۴-۶۵۴.

۲- استادیار، گروه پژوهشی محیط زیست و رنگ، پژوهشگاه رنگ، تهران، ایران، صندوق پستی: ۱۶۷۶۵۴-۶۵۴.

تاریخ دریافت: ۹۹/۰۸/۲۵ تاریخ بازبینی نهایی: ۹۹/۱۱/۱۴ تاریخ پذیرش: ۹۹/۱۱/۱۵ در دسترس بصورت الکترونیک: ۰۰/۰۳/۱۷

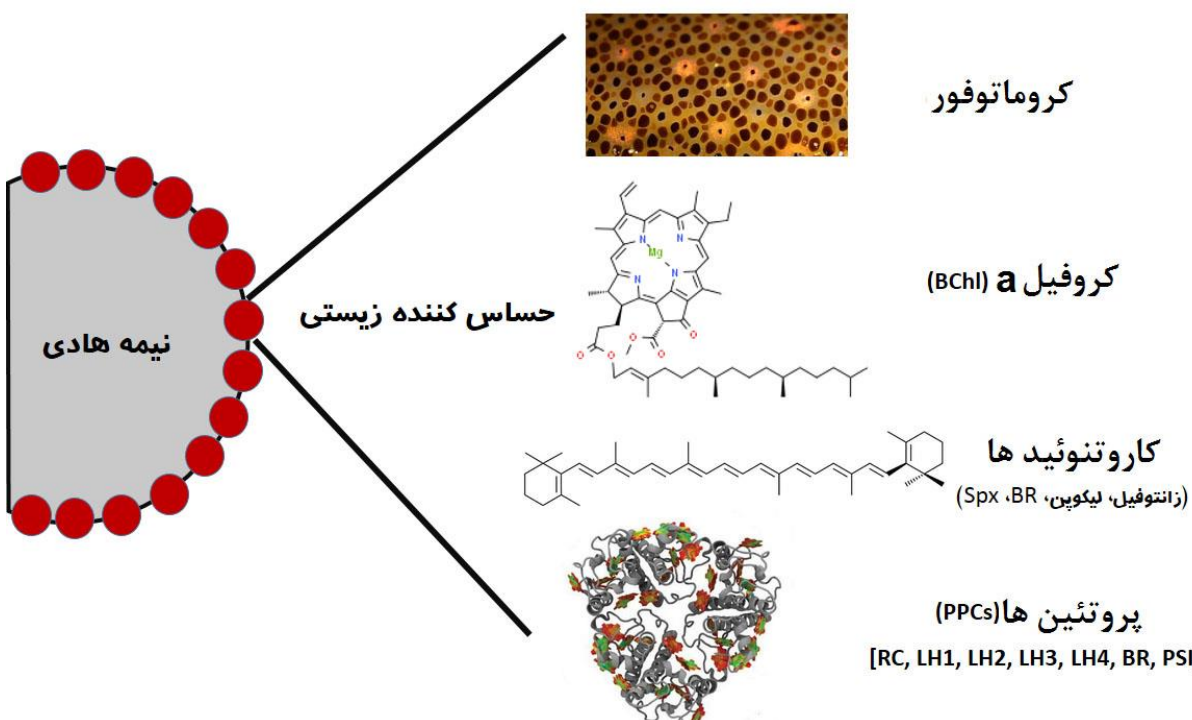
### چکیده

بیش از ۳/۵ بیلیون سال است که پروتئین‌ها و مواد طبیعی، در اثر دریافت نور، انرژی تولید می‌کنند. استفاده از مهندسی ژنتیک و تهیه مواد رنگزای زیستی، مجموعه‌ای از ترکیبات جدید دارای ویژگی‌های منحصر به فرد را ارائه کرده است. سلول‌های خورشیدی حساس شده به مواد رنگزای زیستی، نویدبخش تولید افزارهای کاملاً زیستی برای تولید انرژی الکتریکی هستند. در این مقاله یک مطالعه جامع بر روی سازوکار استفاده از مواد رنگزای زیستی در سلول‌های خورشیدی بهمود یافته ارائه شده است. پروتئین‌ها، کلروفیل‌ها و کاروتونوئیدها در میان انواع حساس‌کننده‌های زیستی، بالاترین بازده تبدیل را در سلول خورشیدی نشان می‌دهند. مانند سایر حساس‌کننده‌ها، شکاف باند از ویژگی‌های مهم در عملکرد نهایی ترکیب نوری است. میانگین تثویری شکاف باند HOMO LOMO تا HOMO برای آنتوسیانین، کلروفیل، سیانین، زانتین و کومارین به ترتیب ۱/۱۳، ۵/۲۲، ۲/۴۶، ۱/۱۵ و ۲/۲۲ الکترون ولت است. هرچه شکاف باند حساس‌کننده، پایین‌تر باشد، تهییج الکترون لایه ظرفیت و تشکیل جفت الکترون-حفره تسهیل می‌گردد. بالاترین بازده تبدیل برای سلول خورشیدی حساس شده به ماده رنگزای زیستی PPB+Spx بوده و در حدود ۴٪ می‌باشد.

### واژه‌های کلیدی

مواد رنگزای زیستی، سلول خورشیدی حساس شده به مواد رنگزای، پروتئین، مواد رنگزای باکتریایی، حساس‌کننده.

### چکیده تصویری





## A Review of Bacterial-sensitizers for Photovoltaic Devices

Mozhgan Hosseinezhad<sup>\*1</sup>, Seyed Masoud Etezad<sup>2</sup>

1- a) Department of Organic Colorants; Institute for Color Science and Technology, b) Center of Excellence for Color Science and Technology, Tehran, Iran, P. O. Box. 16765-654.

2- Environmental research Department, Institute for Color Science and Technology, P. O. Box. 16765-654, Tehran, Iran.

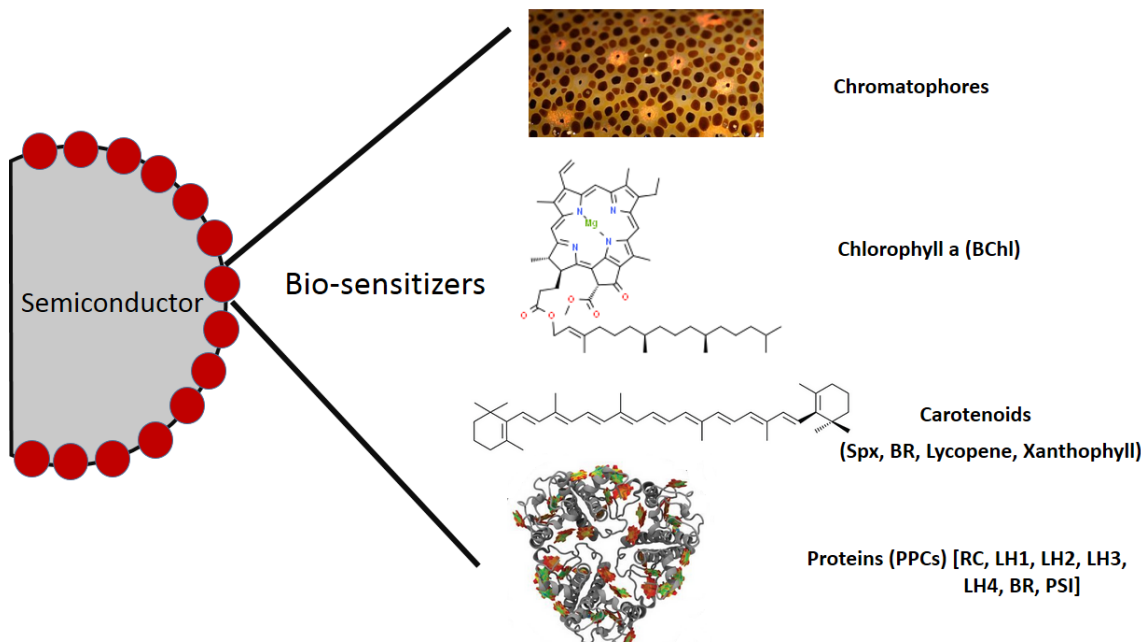
### Abstract

Evolution has been optimizing proteins for light reception and energy conversion for more than 3.5 billion years. The use of genetic engineering and bio-dyes has provided an array of new materials that have enhanced properties. Dye-sensitized solar cells based on bio-photosensitizers (bio-sensitized DSSCs) are promising bio-photoelectronic devices for electrical energy preparation. In this paper, a comprehensive study was presented on the mechanisms involved in the utilization of bio-dyes for an improved bio-sensitized DSSCs performance. Protein complexes, and chlorophyll a and carotenoids are among many bio-photosensitizers demonstrating high incident photon-to-current efficiency (IPCE). Like other sensitizers, the band-gap is an important factor in final performance of the optical component. Theoretical-average HOMO-to-LUMO band-gaps of 2.46, 5.22, 4.13, 1.13, 3.15, and 2.22 eV were calculated for anthocyanin, carotenoid, chlorophyll, cyanine, xanthene, and coumarin, respectively. It is more probable that low dye band-gaps result in enhanced HOMO-electron excitation and e-h pair generation. The highest conversion efficiency for bio-DSSCs based on PPB+Spx is about 4%.

### Keywords

Bio-dyes, Dye-sensitized solar cells, Protein, Bacterial colorant, Sensitizer.

### Graphical abstract



## ۱- مقدمه

سنتر زیستی مواد رنگرای از طریق فرآیندهای تخمیر در سال‌های اخیر توجه زیادی را به خود جلب کرده است [۴، ۳، ۲]. از دیدگاه فنی، مواد رنگرای زیستی سنتزشده می‌توانند به عنوان کروموفورهای اصلی باشند که با اعمال تغییرات شیمیایی بیشتر، منجر به تولید مواد رنگرایی با طیف گسترده‌ای از فام شوند. مزایای استفاده از مواد رنگرایی باکتریایی عبارتند از: ۱) باکتری‌ها و کمپلکس‌های پروتئینی آن‌ها به وفور در دسترس بوده و مقرنون به صرفه هستند، ۲) استخراج مواد رنگرایی زیستی آسان و قابل فرآیند بوده و قابلیت تولید در مقیاس بزرگ را دارد، ۳) مواد رنگرایی موجود در باکتری‌ها معمولاً تجدیدپذیر و پایدار هستند، ۴) مواد رنگرایی موجود در باکتری‌ها معمولاً غیرسرطان‌زا بوده و هیچ نگرانی از نظر سلامتی برای انسان ایجاد نمی‌کند و ۵) حساس‌کننده‌های زیستی به دلیل طیف جذب گسترده (چند رنگ و طول موج)، می‌توانند انرژی نور بیشتری را جذب کنند [۱۱]۔

این مقاله مروری مواد رنگرایی زیستی قابل استفاده در سلول‌های خورشیدی حساس به مواد رنگرایی را ارائه نموده که دارای قابلیت تبدیل نور به الکتریسته هستند. ابتدا منابع زیستی برای تولید مواد رنگرایی قابل استفاده در سلول خورشیدی معرفی شده و سیستم فوتولوئتائیک حساس به آن تشریح می‌گردد. ساختار شیمیایی، اطلاعات زیستی و توانایی تبدیل فوتون به الکترون در سلول‌های خورشیدی حساس به مواد رنگرایی به منظور بهبود عملکرد آن‌ها مورد مطالعه قرار خواهد گرفت.

## ۲- منابع مواد رنگرایی باکتریایی قابل استفاده در سلول خورشیدی

مواد رنگرایی باکتریایی فعال یا منفعل زیستی، از مولکول‌های پیچیده و ذرات ریز موجود در سیتوپلاسم باکتری‌های مختلف استخراج می‌شوند. به عنوان مثال، ریبوزوم‌ها در سیتوپلاسم باکتری‌ها قادر به سنتز PPC های مختلفی مانند LH4، LH2 و RC هستند همانطور که آنزیم‌های منحصربه فردی نظری هیدروناز را که کاربردهای فوتولوئتائیک دارند تولید می‌کنند. مواد رنگرایی کاروتینوئیدی (زرد تا نارنجی-قرمز) توسط موجودات فوتوسنتر کننده در پاسخ به تشنهای مختلف محیطی در بسیاری از باکتری‌ها، جلبک‌ها، قارچ‌ها و گیاهان تولید می‌شوند تا ساختار سلول‌های خود را در برابر آسیب ناشی از اکسایش محافظت نمایند. مشتقات کلروفیل II سنتر شده در سیانوباکتری‌ها، گیاهان یا جلبک‌ها، مواد رنگرایی هستند که برای کسب انرژی نورانی از طریق فوتوسنتر استفاده می‌شوند [۱۲]۔

گروه‌های عاملی موجود، پیوندهای شیمیایی (کووالانسی) و فیزیکی، تعداد پیوندهای مزدوج دوگانه  $\pi$  و طول زنجیر ساختار هیدروکربن آلی برخی از عواملی هستند که باید در انتخاب ماده رنگرایی زیستی ایده‌آل برای سلول‌های خورشیدی حساس به مواد رنگرایی مورد توجه قرار گیرند. زنجیرهای هیدروکربنی با تعداد زیادی از واحدهای اسید کربوکسیلیک ( $\text{CO}_2\text{H}$ )، هیدروکسیل (OH) و رادیکال (O<sup>•</sup>) برای اتصال حساس کننده به سطح نیمه هادی ترجیح داده می‌شوند زیرا این گروه‌ها، مقاومت الکتریکی کمتری داشته و تزریق الکترون را تسهیل می‌کنند. تحقیقات نشان می‌دهد که حضور گروه‌های حجیم (به عنوان مثال زنجیرهای الکیل یا حلقه‌های آروماتیک) در ماده رنگرایی می‌تواند تجمع ماده رنگرایی را کاهش و عمر الکترونی را افزایش دهد. سیستم‌های مزدوج کاروتونوئیدها به دلیل وجود الکترون‌های غیرمستقر متعدد، فام‌های قوی دارند. تهییج نوری انتقال الکترونی به یک

منابع تجدیدنپذیر انرژی مانند سوخت‌های فسیلی (نفت، گاز و زغال سنگ) نگرانی‌های زیستمحیطی زیادی ایجاد می‌کنند و به دلیل محدودیت این ذخایر و همچنین افزایش تقاضا برای انرژی در حال پایان هستند. براساس تخمین‌های مدل‌های اقتصادی، ذخایر سوخت‌های فسیلی تا سال ۲۰۴۲ کاملاً تمام می‌شوند [۱] در مقابل، انرژی خورشیدی به صورت نامحدود، رایگان و سازگار با محیط زیست، با توان تقریبی  $10^{11} \times 10^{11}$  مگاوات از زمین دریافت می‌گردد [۲]. افزارهای فوتولوئتائیک برای استفاده از انرژی خورشیدی و تبدیل فوتون‌های ورودی به اگریتون و در ادامه تولید انرژی الکتریکی، بسیار سودمند هستند [۳] سلول‌های خورشیدی نسل اول و دوم که برپایه بلورهای سیلیکون می‌باشند، تجاری بوده اما قیمت آن‌ها بسیار بالا است. سلول‌های خورشیدی نسل سوم شامل سلول‌های خورشیدی پروسکایت، آلی، آلی/معدنی، حساس به مواد رنگرایی، نقاط کوانتومی و دوپشته هنوز در مرحله تحقیق و توسعه برای تجاری شدن هستند [۴] در سال ۱۹۹۱، گرأتزل و اورگان، سلول‌های خورشیدی حساس شده به مواد رنگرایی<sup>۱</sup> را با الهام از فوتوسنتر گیاهان و عکاسی نوری معرفی کردند [۵]. مشابه فوتوسنتر طبیعی، در سلول‌های خورشیدی حساس به مواد رنگرایی از مواد رنگرایی مستخرج از گیاهان و میوه‌ها برای تبدیل نور به الکتریستیته (به جای تبدیل انرژی شیمیایی که به عنوان قند و کربوهیدرات در فوتوسنتر طبیعی ذخیره می‌شوند)، استفاده می‌شود. به عبارت دیگر، DSSCs به عنوان یک فناوری فیلم نازک بوده که نور را به الکتریستیته تبدیل می‌کند [۶] پژوهش‌های متعدد و متمرکز از سال ۱۹۹۱ تا ۲۰۱۴ بر روی DSSCs سبب کسب بازده ۱۳٪ برای این افزاره گردید [۷]. بالاترین بازده به دست آمده برای سلول‌های خورشیدی سیلیکونی در حدود ۲۷٪ است. با این حال، DSSCs به دلیل مواد و اجزا ارزان قیمت، طراحی ساخت واضح و کمترین خدمات نگهداری و تعمیر، مقرنون به صرفه (کمتر از ۵۰ دلار در وزن) هستند [۸]. یک سلول خورشیدی شامل چهار بخش اصلی فتوتو آند، حساس کننده، الکترولیت و الکترود مقابل است. مواد رنگرایی آلی-معدنی دارای بالاترین بازده در افزارهای DSSCs هستند اما در مقایل گران‌قیمت، در طبیعت کمیاب بوده و برای انسان خطر سمتی دارند. برای حل این محدودیت، بسیاری از تحقیقات به منظور معرفی حساس‌کننده‌های طبیعی، به ویژه از نوع زیستی از منابع باکتریایی مانند لیگاندهای RC<sup>۲</sup> و کمپلکس‌های کاروتونوئید طبیعی بهینه شده، پروتئین‌های دارای RC<sup>۲</sup> و کمپلکس‌های کاروتونوئید جهت تبدیل فوتون به الکترون متمرکز شده است [۹]. مواد رنگرایی منتج از منابع باکتریایی مزایای زیادی نسبت به مواد رنگرایی آلی و آلی-معدنی دارند. این ترکیبات گزینه‌های نویدبخشی برای استفاده در سلول‌های خورشیدی با کاربردهای روزمره مانند لباس یا کیف دستی و همچنین در دیوارهای ساختمان و پنجره‌های یکپارچه هستند [۱۰] میکروگانیسم‌ها انواع زیادی از مواد رنگرایی پایدار مانند کاروتونوئیدها، فلاونوئیدها، کینون‌ها و روبرامین‌ها را تولید می‌کنند. تخمیر در مقایسه با استفاده از گیاهان و حیوانات علاوه بر بازده بیشتر در تولید مواد رنگرایی باقی‌مانده‌های کمتری نیز دارد. بنابراین،

<sup>1</sup> Dye-sensitized solar cells (DSSCs)

<sup>2</sup> Photochemical reaction center (RC) protein

تئیه شده به ترتیب دارای فتوحریان و بازده  $11/5 \text{ mA.cm}^{-2}$  و  $11/1\%$  است. ترکیب PPB یک حساس کننده زیستی شامل اسکلت منسجم که حاوی یک گروه کربوکسیلی است که به طور مستقیم به سیستم مزدوج حلقوی متصل شده است. این استخلاف، سبب اتصال حساس کننده به سطح نیمه هادی شده که این پیوند سبب تزییق الکترون های تهییج یافته به سطح نیمه هادی می گردد. فاصله دهنده های مزدوج (به عنوان مثال اسفناج و یا رنگدانه اسپیریلوژنتین<sup>۱</sup> (Spx)), انتقال الکترون را از دو طریق تسهیل می کنند که عبارتند از: (الف) بازگشت ماده رنگزای تهییج یافته به سطح اولیه و (ب) محبوس کردن الکترون های معکوس با تشکیل کاتیون های رادیکال که به واکنش احساب کمک م کنند [۱۸، ۱۷].

مگیس و همکارانش یک سلول خورشیدی هیبرید زیستی با استفاده از حساس کننده و الکتروولیت زیستی طراحی و سنتر نمودند. در این سلول، باکتریوکلوفیل RC به عنوان حساس کننده و ردوسپیرلیوم<sup>۲</sup> به عنوان الکتروولیت زیستی مورد استفاده قرار گرفت. برای الکترود مقابل از طلا لایه نشانی شده بر روی شیشه استفاده شد و نتایج نشان داد که فتوژریان افزایش چشمگیری خواهد داشت. بازده سلول تهیه شده در حدود ۰/۸۷ درصد گزارش گردید [۱۹]. ورونویچ<sup>۳</sup> و همکارانش یک سلول خورشیدی هیبرید زیستی تهیه نمودند که در آن از سویه S1 ردوسپیرلیوم به عنوان حساس کننده و کوئینون Q0 و سیتوکروم C به عنوان الکتروولیت استفاده شده است. آرایش سلول خورشیدی تهیه شده به صورت

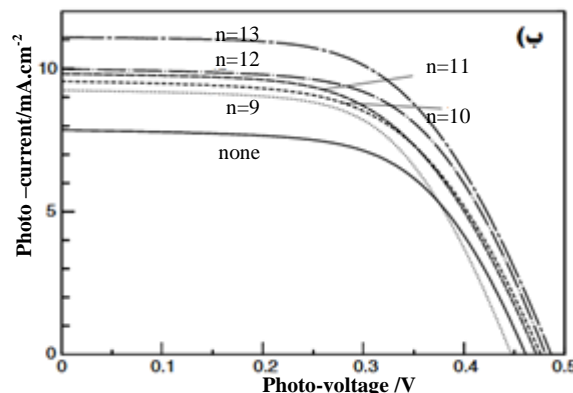
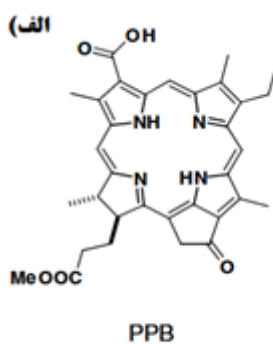
سیستم سلول خورشیدی با یک جریان تاریک برای ارزیابی پدیده بازترکیب در باند هدایت دی اکسید تیتانیم مورد مطالعه قرار گرفت. نتایج نشان داد که حضور کروماتوفورها بر روی الکترود نیمه هادی (سطح دی اکسید تیتانیم) مانند یک لایه مانع بین الکترون‌ها و حفره‌ها برای هردو سطح نیمه هادی و الکتروولیت، سبب کاهش شدید پدیده بازترکیب می‌گردد. جریان یک سویه متواالی خوب از حساس‌کننده زیستی به دلیل توافق انرژی باند بین اجزا سیستم و اتصال خوب آن‌ها مشاهده می‌شود.

<sup>1</sup> Spirilloxanthin  
<sup>2</sup> Rhodospirillum  
<sup>3</sup> Woronowicz

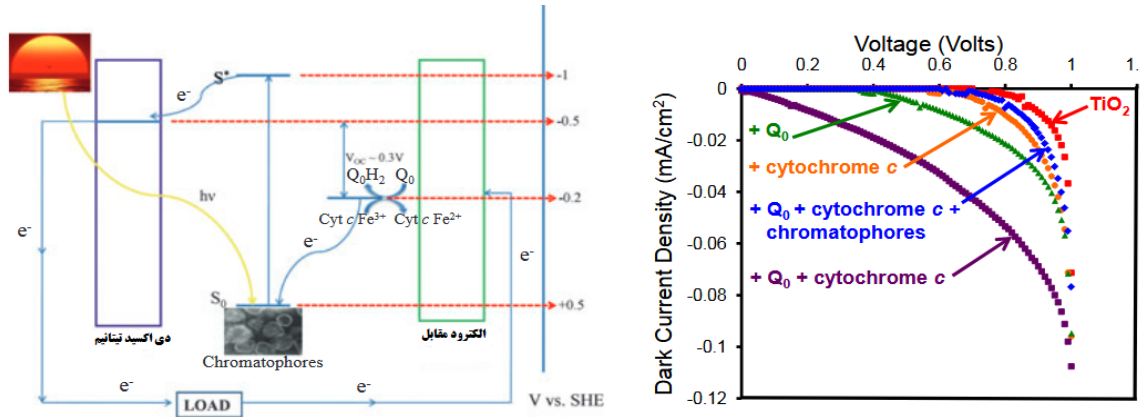
او بیتال با سطح انرژی بالاتر ( $\pi^* \rightarrow \pi$ ) است. معمولاً، انتقال الکترونی بر اساس تهییج نوری از سطح HOMO به LUMO براساس قوانین گرینشی دوار برای انتقال های الکترومغناطیس انجام می شود. مواد رنگزای کاروتونوئیدی فقط زمانیکه دارای حداقل هشت پیوند مزدوج باشند، در ناحیه مرئی دارای فام خواهند بود و زمانیکه پیوندهای مزدوج کمتر از هشت باشد، در ناحیه فرابنفش جذب خواهد داشت. فام مواد رنگزای کاروتونوئیدی براساس تعداد پیوندهای، دو گانه از نارنجی، تا قرمز متغیر است [۱۴، ۱۳].

۳- مروری بر حساس کننده‌های زیستی قابل استفاده در سلول‌های خورشیدی

پروتئین‌های RC فتوسنترزی از یک مجموعه ماده رنگزای پروتئینی در باکتری‌ها تشکیل شده است که به عنوان جدآکتنده بار در ابزارهای اپتوالکترونیک قابل استفاده هستند. فیلم‌های نیمه‌هادی/پروتئینی و عملکرد آن‌ها اخیراً به دلیل نقش امیدبخش آن‌ها در توسعه حوزه الکترونیک زیستی و ابزارهای زیستی فتووالکترونیک مورد مطالعه گسترده قرار گرفته‌اند. تمرکز اصلی تحقیقات برای حل دو محدودیت اصلی حساس‌کننده‌های زیستی بوده که عبارتند از: (الف) از دست دادن انرژی به دلیل شکل‌گیری حالت جدایش بار نهایی پروتئین RC (ب) بازترکیب بار ناشی از الکترون‌های تهییج یافته که مانع از جدایش جفت الکترون-حفره شده و تبدیل فتووالکترونیک را با مشکل جدی روبرو می‌کند [۱۵]. مشتقات کلروفیل به عنوان یک جایگزین عالی برای حساس‌کننده‌های سنتی (مواد رنگزای آلی و آلی-معدنی) جهت تبدیل حساس‌کننده‌های خورشید به برق در نظر گرفته می‌شوند. ترکیب کلروفیل با مواد انرژی خورشید کاروتوتوئیدها، پیشرفت‌های زیادی را در عملکرد فتوسنتری مانند کاروتوتوئیدها، محافظت از لایه کلروفیل و حساس‌کننده کلروفیل در سلول خورشیدی نشان داده است، زیرا کاروتوتوئیدها در برداشت انرژی خورشیدی، محافظت از لایه کلروفیل و تشکیل کاتیون‌های رادیکال برای عملکرد احیایی، نقش اساسی دارند [۱۶]. وانگ و همکارانش با استفاده از کلروفیل مشتق شده (متیل-۳-کربوکسی-۳-دی‌وبنیل-پیروفُوفورید (PPB)، شکل ۱) به عنوان یک حساس‌کننده زیستی، یک سلول خورشیدی تهییه کردند و همچنین از طول‌های مختلف کاروتوتوئید به عنوان بخش الکتروولیت استفاده نمودند. آرایش سلول خورشیدی زیستی تهییه شده عبارتند از: آرایش سلول خورشیدی FTO/TiO<sub>2</sub>/PPB/carotenoid/electrolyte/FTO.



شکل ۱- ساختار حساس کننده زیستی  $PPB$  و نمودار فتوحریا<sub>ز</sub>-فتوولتا<sub>ز</sub> سلول، خورشیدی تهیه شده با آن [۱۷].



شکل ۲- طرح‌واره سلول خورشیدی زیستی و نمودار فتوتجربان-فوتوفولتاژ آن [۲۰].

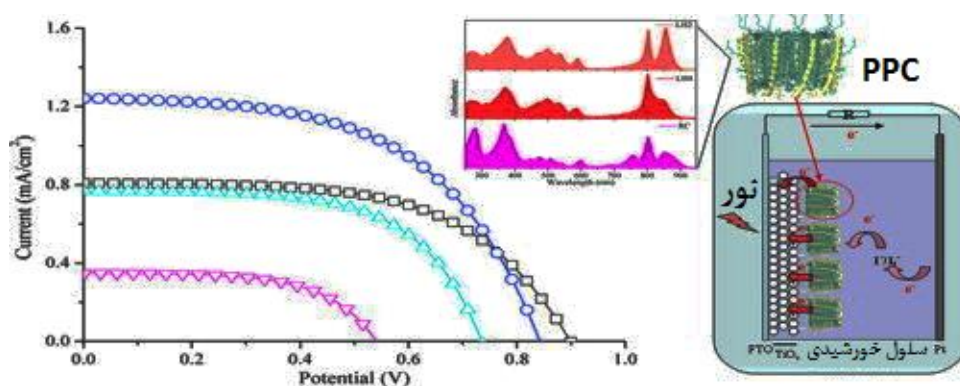
مولکول زیستی با سطح نیمه‌هادی است. در نهایت سلول خورشیدی یگانه و دوپوشته (با پیکربندی FTO/پلاتین/الکتروولیت/باکتریوروبرین/باکتریوردوپسین/FTO/TiO<sub>2</sub>) تهیه شد. بازده سلول‌های خورشیدی یگانه باکتریوروبرین و باکتریوردوپسین و نوع دوپوشته به ترتیب ۰/۱۶، ۰/۱۹ و ۰/۴۹ درصد بود. بیشینه جذب باکتریوروبرین و اکتریوردوپسین به ترتیب ۵۶۸ و ۴۹۷ نانومتر بود و استفاده همزمان آن‌ها سبب افزایش گستره طول موج جذب نور مرئی و درنتیجه بهبود بازده تبدیل گردید [۹].

اورونزو و همکارانش برای اولین بار از باکتری‌های قطب جنوب مقاوم در سلول پرتو فرابنفش برای تولید مواد رنگاری غیرفوتوستزی برای کاربرد در سلول خورشیدی استفاده کردند. نتایج تحقیقات نشان می‌دهد که باکتری‌های موجود در منطقه قطب جنوب با بهبود ساختار DNA خود، دارای مقاومت در برابر پرتو فرابنفش هستند. ابتدا این باکتری‌ها از خاک جزیره شاه جورج قطب جنوب جمع‌آوری شده و سپس برای استخراج ماده رنگار، مورد بررسی قرار گرفتند. دو نوع ماده رنگزای *Hymenobacter* sp. به رنگ قرمز و *Chryseobacterium* sp. به رنگ زرد مربوط به طبقه کاروتینوئیدها خالص‌سازی گردید (شکل ۵). بیشینه جذب ماده رنگزای زرد و قرمز به ترتیب ۴۵۰ و ۴۷۸ نانومتر است. فیلم دی‌اکسید تیتانیم به صورت جدأگانه با هردو ماده رنگزای، از طریق غوطه‌وری در محلول ماده رنگزای با غلظت  $10 \text{ mg.ml}^{-1}$  (دوبار)، لایه‌نشانی گردید. سلول خورشیدی تهیه شده با ماده رنگزای زرد و قرمز به ترتیب دارای بازده ۰/۰۳۲۲ و ۰/۰۳۳۲ درصد بودند. قابلیت مقاومت در برابر نور این دو ماده رنگزای در زمان‌های مختلف مورد ارزیابی قرار گرفت و چنانکه انتظار می‌رفت، کاروتینوئیدهای مقاوم در برابر پرتو فرابنفش، برای مدت زمان قابل قبول در معرض نور نسبتاً پایدار بودند [۲۳، ۲۴]. مونتاگنی و همکارانش از یک ماده رنگزای زانتوفیل استخراج شده از *Hymenobacter* sp. به دست آمده از قطب جنوب، برای تهیه سلول خورشیدی استفاده نمودند. فرض بر این بود که باکتری‌های قطب جنوب برای تولید این نوع مواد رنگار، جهت جذب نور حتی در شرایط تابش غیرمستقیم خورشید تکامل یافته‌اند. برای بهبود بازده سلول خورشیدی از حساس‌کننده کمکی پلی‌سکارايد مانند ۱-۴-گلوكان<sup>۱</sup> به همراه ماده رنگاری استخراج شده از باکتری استفاده شد.

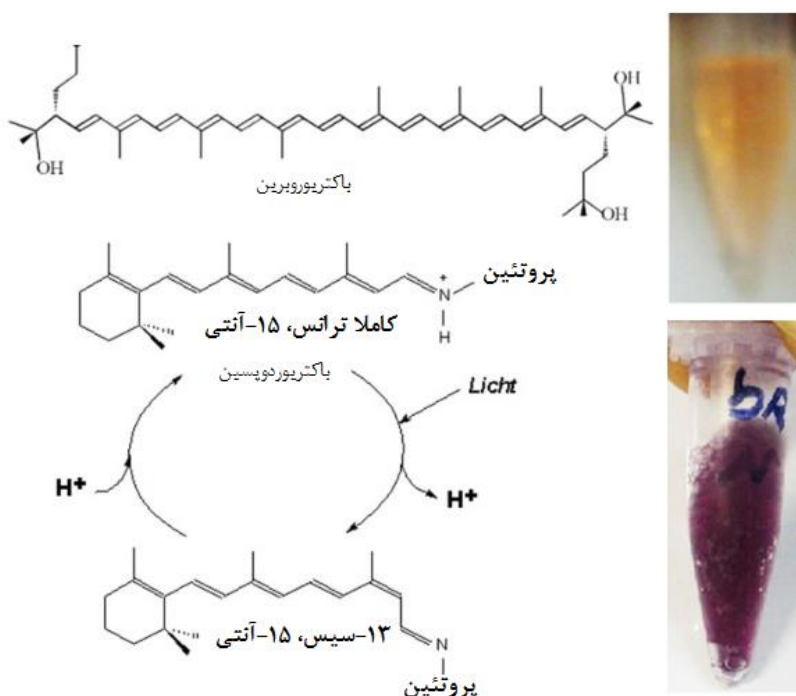
ویژگی‌های فوتولوئیک سلول خورشیدی زیستی تهیه شده عبارتند از:  $V_{OC}=24/7 \text{ mV}$ ,  $J_{SC}=24/7 \text{ mA.cm}^{-2}$ ,  $\eta=0/0/4\%$  و  $FF=0/29$ .  
فیو و همکارانش مواد رنگاری زیستی مشتق از پروتئین PPC Mانند LH4 و RC را بر روی فیلم دی‌اکسید تیتانیم (نیمه‌هادی) لایه‌نشانی نموده تا یک فوتواند کارآمد برای سلول‌های خورشیدی با پیکربندی FTO/پلاتین/الکتروولیت/PPC/Dی‌اکسید تیتانیم/FTO تهیه نمایند. پروتئین PPC از باکتری‌های بتنفس (Rhodopseudomonas Palustris CQV97 and Rhodobacter Azotoformans R7) استخراج شدند. سلول‌های خورشیدی حساس شده به LH2 قادر به تولید فتوتجربان نسبتاً زیاد با پایداری در حدود ۳۰۰ ثانیه است. نتایج نشان می‌دهد که غلظت بهینه این حساس‌کننده در حدود ۴۶/۸ میکروگرم بر روی سطح نیمه‌هادی بوده و مدت زمان لایه‌نشانی در حدود ۷۲ ساعت است. سلول خورشیدی تهیه شده (شکل ۳) با این شرایط به ترتیب دارای فتوتجربان و بازده  $1/46 \text{ mA.cm}^{-2}$  و ۰/۴۹ درصد بود. با این حال غلظت LH2 هیچ اثر آشکاری بر روی دو عامل فوتوفولتاژ و FF نشان نداد و سلول خورشیدی حساس به RC به دلیل جداسازی بار کارآمد، دارای خواص کتریکی بهتری بود. این حساس‌کننده زیستی، تبدیل الکتریکی سریع و بهتری داشته و حساسیت در مقابل نور بالاتری دارد در مجموع سلول‌های خورشیدی تهیه شده با این دسته از حساس‌کننده‌های زیستی در برابر نور مرئی تا زیرقرمز پاسخگو هستند [۲۱].

مولایرید و همکارانش در مورد استفاده از یک طبقه ارزان قیمت از مواد رنگاری باکتریابی به عنوان حساس‌کننده در سلول‌های خورشیدی، تحت عنوان BR از *Bacterioruberin* و *Bacteriorhodopsin* (شکل ۴) به ترتیب مولکول‌های زیستی خودرنگ پروتئینی و کاروتینوئیدی، مطالعاتی را انجام دادند. این ترکیبات معمولاً در غشا سیتوپلاسمی موجود در *Halobacterium* *salinarum* یافت می‌شوند [۹]. پروتئین باکتریوردوپسین شامل ۲۴۸ اسید آمینه بوده است که در غشا چربی به صورت بسته‌های مارپیچی قرار گرفته‌اند. در اثر برخورد فوتون به آن‌ها، ایزومری شدن رتینال آغاز شده و تمام آرایش‌های ترانس به ۱۳-سیس تبدیل شده و یک چرخه فوتونی پدید می‌آید [۲۲]. برای لایه‌نشانی این پروتئین‌ها بر روی سطح دی‌اکسید تیتانیم  $1/5 \text{ میلی لیتر}$  از محلول حاوی  $1 \text{ mg.ml}^{-1}$  از باکتریوروبرین و  $0/1$  میلی‌مول از باکتریوردوپسین، به صورت جدأگانه تهیه شده و سطح نیمه‌هادی به مدت ۱۲ ساعت در آن غوطه‌ور گردید. پس از پایان لایه‌نشانی، رنگ دی‌اکسید تیتانیم به بتنفس و قرمز تغییر کرد که نشان دهنده موفقیت پیوند

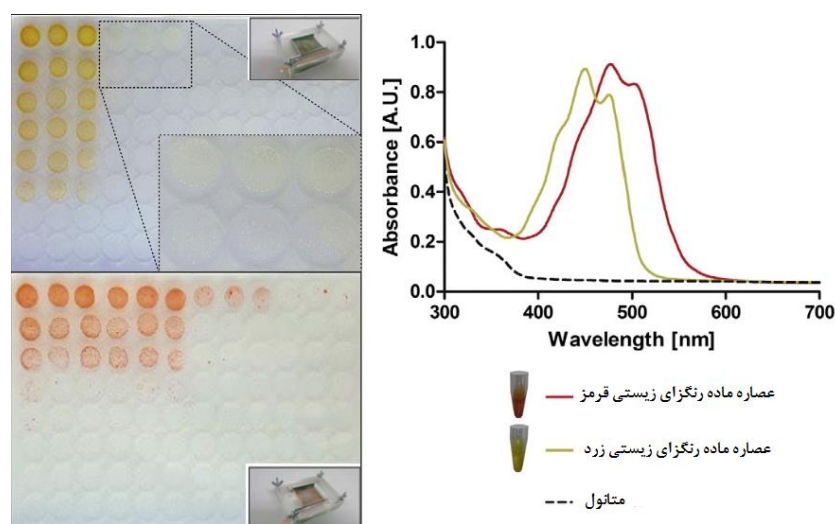
<sup>۱</sup>  $\alpha$ -1,4-glucan



شکل ۳- طرح واره سلول خورشیدی مشتق از پروتئین *PPC* و نمودار فتوتجریان-فتوولتاز آن [۲۱].



شکل ۴- ساختار باکتریوردوپسین و باکتریوروبرین [۹].



شکل ۵- استخراج و طیف جنبی ماده رنگزای استخراج شده از باکتری موجود در قطب جنوب [۱۰].

خورشیدی تهیه شده با استفاده از دی‌اکسید تیتانیم در حدود ۲۰٪ بیشتر از اکسید روی است [۲۹]. زیوو و همکارانش از دو باکتری *E. coli* در سلول خورشیدی دارای فوتوآند اکسید روی استفاده کردند. سلول خورشیدی تهیه شده به ترتیب بازده ۰/۱۷ و ۰/۳۴ درصد را نشان داد. سلول خورشیدی تهیه شده با این دو باکتری قابلیت پاسخگویی در شرایط ملایم نوری را داشت [۳۰].

#### ۴- جداسازی باکتری‌ها و فرآیندهای استخراج زیستی

مواد رنگزای زیستی را می‌توان از اندام‌های مختلف نظیر میوه، گل، برگ‌ها، دانه‌ها، پوست و سبزیجات و نیز بخش‌های مختلف سلول استخراج نمود. مولکول‌های استخراج شده زیستی (محصولات طبیعی)، می‌توانند به عنوان مواد اولیه مقرر باشند که صرفه و سبز برای سنتز نقاط کوانتومی کردن یا نقاط کوانتومی گرافنی برای کاربرد در الکترود مقابل مورد استفاده قرار گیرند. استخراج مواد رنگزای زیستی فرآیندی پیچیده بوده که مستلزم شناخت ماهیت مواد رنگ‌ها و شناسایی ویژگی‌های حلالیت آن‌ها است. برای استخراج مواد رنگزای طبیعی از منابع باکتریایی چندین روش قابل استفاده وجود دارد. کربوهیدرات‌ها، پروتئین‌ها، کلروفیل‌ها و تانین‌ها، نمونه‌هایی از مواد طبیعی هدفمند برای تهیه و استخراج مواد رنگزای طبیعی هستند. روش‌های استخراج مرسوم برای این منظور عبارتند از: استخراج در آب، حلالی، قلیایی/اسیدی، ماکروویو و فراصوت، تخمیر و آنزیمی. مراحل استخراج مواد رنگزای در آب عبارتند از: جمع آوری و تمیز کردن منابع طبیعی، خیساندن، جوشاندن، صاف کردن و سانتریفیوژ برای جداسازی مواد باقیمانده. استخراج قلیایی و اسیدی برای جداسازی مواد رنگزای گل‌ها، برخی مواد رنگزای فلاون (با استفاده از آب اسیدی) و مواد رنگزای دارای گروه‌های فنلی ( محلول در قلیا) استفاده می‌شود. افزودن اسید یا قلیا سبب تسهیل آبکافت گلیکوزیدها و رسوب آن‌ها می‌شود. استخراج با کمک روش ماکروویو و فراصوت نیاز به آمایش منابع طبیعی داشته و این فرآیند در آب یا دیگر حلال‌ها انجام می‌شود. تشکیل و فروپاشی حباب‌ها در اطراف منابع، سبب استخراج مواد رنگزای گردد. استخراج مواد رنگزای نیل توسط آنزیم‌ها انجام می‌شود به این صورت که پس از خیساندن برگ نیل به مدت ۱۰ تا ۱۵ ساعت در آب، گلکوزیدین‌های آنزیم ایندیمولسین<sup>۳</sup> به گلیکوز و ایندوکسیل مایل به زرد شکسته می‌شود. استخراج آنزیمی توسط آنزیم‌هایی از جمله سلولز، آمیلاز، پتیناز برای استخراج مواد رنگزای از بافت‌های طبیعی پیچیده حاوی سلولز، نشاسته و پروتئین استفاده می‌شود. استخراج حلal نیاز به حلال‌های آلی مانند استن، کلروفرم، اتانل و متانل یا مخلوط آب/الکل دارد [۳۱]. جدول ۱ خلاصه‌ای از روش استخراج و جداسازی مواد رنگزای زیستی قابل استفاده در سلول خورشیدی را تشریح می‌کند.

#### ۵- سطوح انرژی مواد رنگزای زیستی

در مواد رنگزای زیستی مانند دیگر طبقات حساس‌کننده‌ها، دو سطح انرژی HOMO و LUMO وجود دارد. تحت تابش نور، الکترون موجود در

سه محلول از ماده رنگزای زانتوفیل استخراج شده شامل ۱) نارنجی نسبتاً خالص، ۲) نارنجی کاملاً خالص و ۳) نارنجی کاملاً خالص به همراه اسیدچنودی اکسی‌چلیک برای لایه نشانی نیمه‌هادی به مدت یک شبانه روز استفاده شد. نارنجی کاملاً خالص از طریق خالص سازی نمونه استخراج شده اولیه (narنجی نسبتاً خالص) با ستون‌های سیلیکا یکبار مصرف تهیه شد. سلول خورشیدی با پیکربندی مرسوم با استفاده از سه فوتوآند بالا، تهیه گردید. بالاترین بازده تبدیل در حدود ۰/۰۳ درصد برای ماده رنگزای زانتوفیل نسبتاً خالص به دلیل وجود پلی‌ساقاریدهای جدا نشده به دست آمد. جذب ماده رنگزای زانتوفیل بروی سطح نیمه‌هادی از طریق گروه‌های هیدروکسی بوده که پلی‌ساقاریدها به دوام این برهم‌کنش‌ها کمک می‌کنند [۲۴].

ماده رنگزای لیکوپن<sup>۱</sup> حساس به نور و به عنوان یک ماده زیستی برای کاربردهای فوتولوئیک به صورت ژنتیکی در باکتری *E. coli* تولید گردید. لیکوپن نوعی کاروتونید طبیعی بوده که سبب ایجاد رنگ قرمز-نارنجی در گوجه فرنگی و برخی از باکتری‌ها می‌شود. ماده رنگزای لیکوپن یک ماده واسطه احیایی پایدار بوده که در محدوده ۳۸۰-۵۲۰ نانومتر نور را جذب کرده و سبب تهییج الکترون‌های HOMO می‌شود. بنابراین به عنوان حساس کننده در کاربردهای فوتولوئیک و کاتالیزور نوری قابل استفاده است. سیرواستاو و همکارانش *E. coli* را با نانوذرات دی‌اکسید تیتانیم، کپسوله کرده و بک شبكه متخلخل با ریخت پوسته-هسته به صورت لیکوپن/E.coli/دی‌اکسید تیتانیم برای کاربرد در سلول خورشیدی تهیه نمودند. کامپوزیت لیکوپن/*E. coli* دارای جذب در ناحیه مرئی در ۴۸۵، ۵۹۵ و ۴۵۰ نانومتر بوده که برای تهیه سلول خورشیدی مطلوب است. سلول خورشیدی تهیه شده با این لایه دارای بازده ۰/۰۵۷ درصد در شرایط پرنسور و کم نور است [۲۵]. گووزل و همکارانش از پروتئین RC به عنوان حساس کننده زیستی در تهیه سلول خورشیدی استفاده نمودند. ویژگی‌های فوتولوئیک سلول خورشیدی تهیه شده با این پروتئین عبارتند از FF=۰/۵۰، Jsc=۸۸۸μA.cm<sup>۲</sup>، Voc=۰/۵۰ V و ۱۰/۹ بار در برابر تابش نور پاسخگو بوده و در شرایط ملایم نیز کار می‌کند [۲۶]. رانجیتا و همکارانش، PSII باکتری را به عنوان حساس‌کننده زیستی در سلول خورشیدی حاوی دی‌اکسید تیتانیم اعمال نمودند. بازده و فوتولوئیک سلول خورشیدی تهیه شده به ترتیب ۰/۳۶ درصد و ۰/۷۵ ولت گزارش شد. آنها نقره را دی‌اکسید تیتانیم دوب نموده و اثر کامپوزیت را در بازده بررسی نمودند. نتایج نشان داد که کاربرد کامپوزیت، بازده را در حدود ۱۵٪ افزایش می‌دهد [۲۷]. کانکار و همکارانش باقیمانده سلولی هالوآرکتا<sup>۲</sup> حاوی باکتریوردوپسین را در ساختار سلول خورشیدی دارای دی‌اکسید تیتانیم اعمال نمودند. سلول خورشیدی تهیه شده با استفاده از این باکتری، به ترتیب دارای بازده و فوتولوئیک ۱/۱۱ درصد و ۰/۵۲ ولت بود [۲۸]. جورجر و همکارانش دو ماده رنگزای پروتئینی LH2 و LH4 در سلول خورشیدی استفاده کردند. آنها اثر فوتوآند (دی‌اکسید تیتانیم و اکسید روی) را در حضور این دو پروتئین مورد ارزیابی قرار دادند. نتایج نشان داد که بازده سلول

<sup>3</sup> Glucosideindican

<sup>4</sup> Indimulsin

<sup>1</sup> Lycopene

<sup>2</sup> Haloarchaea

تبديل بالاتری را نشان می‌دهد. در مقابل مواد رنگزای کاروتینوئید و زانتین به دليل شکاف باند بالا (بیشتر از  $\frac{3}{15}$  الکترون ولت)، بازده تبدیل قابل قبولی ندارند. البته شکاف باند تنها عامل کنترل کننده در عملکرد حساس کننده زیستی در سلول خورشیدی نیست. زیرا کلروفیل‌ها در این مورد یک استثنای بوده که با وجود پهنهای باند بزرگ، عملکرد قابل قبولی در سیستم‌های فتوولتائیک دارند.<sup>۳۴، ۳۵</sup> تعامل ماده رنگزای با سطح نیمه‌هادی، گروه‌های جانبی موجود و سازوکار تشکیل پیوند بر عملکرد سلول خورشیدی تاثیر مهمی دارد. پروتئین‌ها و کاروتینوئیدها دارای ساختار کمپلکسی مشابهی بوده و عملکرد آن‌ها از نظر سطوح انرژی و بازده تبدیل مشابه یکدیگر است. در مجموع استفاده از مواد رنگزای زیستی به دليل امکان تشکیل سطح انرژی HOMO مشبت تر، دارای انتقال الکترونی راحت‌تر به باند هدایت نیمه‌هادی و افزایش انتقال جدایش بار باشد.

HOMO تهییج شده و به سطح انرژی LUMO منتقل می‌گردد. سپس الکترون تهییج یافته به باند هدایت نیمه‌هادی رفته و ماده رنگزا با دریافت الکترون از الکترون به حالت پایه خود باز می‌گردد. میزان انتشار الکترون به اختلاف سطوح انرژی حساس کننده، الکتروولیت و نیمه‌هادی بستگی دارد. سطوح انرژی HOMO و LUMO را می‌توان براساس محاسبات شیمی کوانتمومی، مهندسی نمود و با استفاده از روش‌های الکتروشیمیایی و جذب UV-Vis محاسبه نمود.<sup>۳۳</sup> میانگین تئوری شکاف باند<sup>۱</sup> LOMO برای آنتوسیانین، کاروتینوئید، کلروفیل، سیانین، زانتین و کومارین به ترتیب  $2/46$ ،  $2/22$ ،  $5/22$ ،  $4/13$ ،  $1/13$  و  $3/15$  الکترون ولت است. هرچه شکاف باند حساس کننده پایین‌تر باشد، تهییج الکترون لایه ظرفیت و تشکیل جفت الکترون‌حفره تسهیل می‌گردد. در نتیجه مواد رنگزای آنتوسیانین، سیانین و کومارین به دليل شکاف باند پایین‌تر (کمتر از  $2/46$  الکترون ولت)، بازده

جدول ۱ - روش استخراج و جداسازی مواد رنگزای زیستی قابل استفاده در سلول خورشیدی.

رفرنس	η(%)	جداسازی باکتری‌ها و استخراج ماده رنگرا	ماده رنگزای باکتریایی
[۲۱]	۴	اسپیریلوزانتین از سویه Rhodospirillum rubrum S1 شد. باکتریوکلروفیل و لیپیدها با شستشوی سلول‌ها با متابول برداشته، سانتریفیوژ شدند، با استن شسته و دوباره سانتریفیوژ شدند. سلول‌های حاصل با بنزن شسته و سانتریفیوژ شدند (۳ مرتبه) تا پس از دو فاز محلول بنزن در برابر آب (حاوی NaCl)، کاروتینوئیدها کاملاً استخراج شوند. لایه بنزن حاوی کاروتینوئیدها با استفاده از دستگاه کروماتوگرافی مایع با فشار کم صاف شد. سلول‌های Rhodospirillum rubrum به مدت سه روز تحت نور خورشید و در دمای $30^{\circ}\text{C}$ درجه سانتی‌گراد کشت داده شدند. سلول‌ها با روش فشار فرانسوی لیز شده و کروماتوفورها با استفاده از شبی چگالی ساکارز جدا شدند. سپس مخلوط جدا شده، سانتریفیوژ شده و در $1\text{ M}\text{ Na}_2\text{HPO}_4$ مولار به حالت سوسپانسیون در آمد. فراکسیون غشا خالص (لیپید) در فاز اسید تری کلرواستیک رسوب شده توسط دو استخراج کلروفرم- متانول به دست آمد. PPC های باکتریایی با استفاده از سویه CQV97 و R7 جدا شده از ماسه انجام شد. سویه ها در شرایط بی‌هوایی در محیط اصلاح شده در دمای $30^{\circ}\text{C}$ درجه سانتی‌گراد به مدت ۱ ساعت گرم‌آگذاری شدند. سپس PPC ها با کروماتوگرافی تبادل آئیونی (DEAE) و کروماتوگرافی ژل فیلتراسیون خالص شدند.	کلروفیل a همراه با کاروتینوئیدها (اسپیریلوزانتین)
[۱۰]	۰/۰۱	استخراج PPC به مدت سه روز تحت نور خورشید و در دمای $30^{\circ}\text{C}$ درجه سانتی‌گراد کشت داده شدند. سلول‌ها با روش فشار فرانسوی لیز شده و کروماتوفورها با استفاده از شبی چگالی ساکارز جدا شدند. سپس مخلوط جدا شده، سانتریفیوژ شده و در $1\text{ M}\text{ Na}_2\text{HPO}_4$ مولار به حالت سوسپانسیون در آمد. فراکسیون غشا خالص (لیپید) در فاز اسید تری کلرواستیک رسوب شده توسط دو استخراج کلروفرم- متانول به دست آمد.	کروماتوفور
[۲۱]	۰/۴۹	استخراج PPCs (LH2) در دمای $30^{\circ}\text{C}$ درجه سانتی‌گراد به مدت ۱ ساعت گرم‌آگذاری شدند. سپس PPC ها با محیط اصلاح شده در دمای $30^{\circ}\text{C}$ درجه سانتی‌گراد به مدت ۱ ساعت گرم‌آگذاری شدند. سپس PPC ها با	PPCs (LH2)
[۲۱]	۰/۵۷	برای استخراج باکتریوودوپسین و باکتریوبرین به ترتیب از دو سویه NRC-1 H. salinarum و R1 استفاده شد. سلول‌های سویه با پودر کوارتز آسیاب شده، با اتانول، اتر و محلول آبی $15\text{NaCl}$ ٪ برای جداسازی مواد آلی استخراج شدند. لایه آلی روی سولفات سدیم بی آب خشک شد و با محلول بنزن روی ستون ژل سیلیکا بارگذاری شد. رنگیزهای باکتریووبرین با استن بنزن ( $42.5:8$ ) رقیق شده، جمع آوری گردیده و تحت خلاء غلیظ شدند. باکتریوبرین در استن حل شد و در تاریکی با دمای $30^{\circ}\text{C}$ درجه سانتی‌گراد تحت گاز نیتروژن ذخیره شد.	PPCs (RC)
[۱۰]	۰/۱۶	استخراج PPCs (RC) باکتری‌ها با سوسپانسیون خاک جمع آوری شده حاوی زیست توده‌ها در آب م قطر انجام شد. نمونه‌ها به شدت هم زده شدند و به مدت ۱ ساعت در دمای $28^{\circ}\text{C}$ درجه سانتی‌گراد انکوبه و سپس به مدت دو روز در محیط آگار کشت شدند. از روش کشت خطی برای به دست آوردن سویه‌های خالص استفاده شد که در آن R2A جدایه‌های انتخاب شده با توالی 16S rRNA شناسایی شدند. مواد رنگزا با استفاده از کیت DNeasy® Blood & Tissue شرکت کیاژن استخراج شدند.	باکتریووبرین و کاروتینوئیدهای (BRs)
[۱۰]	۰/۰۳۲۳	فرآیند استخراج مانند کاروتینوئید زانتوفیل (زرد) انجام شد.	کاروتینوئید زانتوفیل (زرد)
[۱۰]	۰/۰۳۳۲	کاروتینوئید زانتوفیل (قرمز)	

<sup>1</sup> Band gap

<sup>2</sup> Chromatophores

(ادامه جدول ۱)

رفرنس	η(%)	جداسازی باکتری‌ها و استخراج ماده رنگزا	ماده رنگزای باکتریایی
[۲۴]	۰/۰۰۸	ابتدا سلول‌ها در محیط R2 کشته و سپس سانتریفیوژ شدند. رسوب سلول‌ها در اتانل ۹۸٪ به حالت سوسپانسیون درآمد. سپس در دمای ۶۰ درجه سانتیگراد به مدت ۱ ساعت تیمار شدند تا مواد رنگزای قرمز به نارنجی تبدیل شوند. سپس نمونه‌ها دوباره سانتریفیوژ شدند و مواد رویی با غشا استریل صاف شدند. کاروتونوئیدهای استخراج شده از <i>Hymenobacter sp.</i> برای استفاده‌های بعدی در تاریکی و در دمای ۲۰ درجه سانتی‌گراد نگهداری شدند.	کاروتونوئید زانتوفیل (نارنجی خالص)
[۲۴]	۰/۰۳	فرآیند استخراج مانند کاروتونوئید زانتوفیل (نارنجی خالص) انجام شد.	کاروتونوئید زانتوفیل (نسبتاً نارنجی)
[۲۵]	۰/۰۵۷	تولید این ماده رنگزا بدون ایزوله کردن و عملیات اضافه و از طریق دستوری ژنتیکی جهت تولید زیاد در باکتری E.Coli BL21 انجام می‌شود.	کاروتونوئید لیکوپن
[۳۲]	۰/۰۸	PSI تریمریک از تیلاکوئیدهای سیانو باکتری گرمادوست <i>Termosynechococcus</i> جدا شد. PSI از سلول‌های منجمد جدا شده، در بافر شستشو و سوربیتول به حالت سوسپانسیون درآمده، با محتوای کلروفیل a همگن شد. پس از افروختن لیزوزیم به مدت ۲ ساعت در دمای ۳۷ درجه سانتی‌گراد همزده شد. مخلوط حاصل سانتریفیوژ و مواد رویی دور ریخته شد. فاز باقیمانده پلت مجدداً به حالت سوسپانسیون درآمده و دو بار با روش فشار فرانسوی (آمینو) با فشار سلول psi ۲۰۰۰۰ عبور داده شده و با ۳ مولار شسته شد. پس از سانتریفیوژ با شب چگالی، نوارهای سبز نمونه PSI جمع شده با دیالیز در برابر MES و ستون تبادل آئیونی خالص شدند.	فتوسیستم I تریمریک (PSI)

کومارین به دلیل شکاف باند پایین‌تر (کمتر از ۲/۴۶ الکترون ولت)، بازده تبدیل بالاتری را نشان می‌دهد. تعامل ماده رنگزا با سطح نیمه‌هادی، گروه‌های جانبی موجود و سازوکار تشکیل پیوند بر عملکرد سلول خورشیدی تاثیر مهمی دارد.

**تشکر و قدردانی**  
نویسنده‌گان از حمایت‌های مادی و معنوی پژوهشگاه رنگ برای انجام این مطالعه سپاسگزاری می‌نمایند.

## ۶- نتیجه‌گیری

استخراج مواد رنگزای باکتریایی فرآیندی پیچیده بوده که مستلزم شناخت ماهیت مواد رنگزا و شناسایی ویژگی‌های حلالیت آن‌ها است. روش‌های استخراج عبارتند از: استخراج در آب، حلالی، قلیایی/اسیدی، ماقروبو و فراصوت و آنزیمی که هریک برای منابع مختلف می‌تواند موثر باشد. مواد رنگزای زیستی استخراج شده از کمپلکس‌های پروتئینی (RC، BR و LH2)، مشتقات کلروفیل و کاروتونوئیدها بهترین عملکرد را در سلول خورشیدی داشته و بازده آن‌ها در حدود ۴/۱۶ درصد است. در مقابل کاروتونوئیدهای زانتوفیل استخراج شده از باکتری‌های قطب جنوب کمترین عملکرد در تبدیل فوتولتائیک (۰/۰۰۸-۰/۰۳ درصد) را دارند اما پایداری آن‌ها در برابر تابش نور بسیار بالا است. در نتیجه مواد رنگزای آتسوسیانین، سیانین و

## ۷- مراجع

1. S. Shafiee, E. Topal, "When will fossil fuel reserves be diminished?", Energy Policy, 37, 181-189, **2009**.
2. B. Parida, S. Iniyian, R. Goic, "A review of solar photovoltaic technologies", Renew. Sustain. Energy Rev., 15, 1625-1636, **2011**.
۳. م. حسین‌نژاد، م. قهاری، "مروری بر نانوکامپوزیت‌های دی‌اکسید تیانیم موردن استفاده در سلول خورشیدی حساس شده به مواد رنگزا"، نشریه مطالعات در دنیای رنگ، ۱۰، ۱-۱۰، ۱۳۹۸، ۵۵-۶۴.
4. D. Wu, W. Chen, T. Wang, F. Li, J. Li, E. Wang, "Synthesis of copper(II)-imidazole complex modified sandwich-type polyoxometalates for enhancing the power conversion efficiency in dye-sensitized solar cells", Dye Pig. 168, 151-159, **2019**.
5. M. HosseiniNezhad, M. Ghahari, H. Shaki, J. Movahedi, "Investigation of DSSCs performance: The Effect of 1,8-
6. م. حسین‌نژاد، "مروری بر عملکرد سلول خورشیدی حساس شده به مواد رنگزا دارای پلیمرهای شفاف"، نشریه علمی مطالعات در دنیای رنگ، ۱۰، ۱-۱۰، ۱۳۹۹.
7. S. Mathew, A. Yella, P. Gao, R. Humphry-Baker, B.F.E. Curchod, N. Ashari-Astani, I. Tavernelli, U. Rothlisberger, M.K. azeeruddin, M. Gratzel, "Dye-sensitized solar cells with 13% efficiency achieved through the molecular engineering of porphyrin sensitizers", Nat. Chem. 6, 242-247, **2014**.
8. V. Sugathan, E. John, K. Sudhakar, "Recent improvements in dye sensitized solar cells: a review", Renew. Sustain. Energy Rev. 52, 54-64, **2015**.
9. A. Molaeirad, S. Janfaza, A. Karimi-Fard, B. Mahyad,

- "Photocurrent generation by adsorption of two main pigments of *Halobacterium salinarum* on TiO<sub>2</sub> nanostructured electrode", *Biotechnol. Appl. Biochem.* 62, 121-125, **2015**.
10. N. Ordenes-Aenishanslins, G. Anziani-Ostuni, M. Vargas-Reyes, J. Alarcon, A. Tello, J.M. Perez-Donoso, "Pigments from UV-resistant antarctic bacteria as photosensitizers in dye sensitized solar cells", *J. Photochem. Photobiol. B Biol.* 162, 707-714, **2016**.
11. L.P. Heiniger, P.G. O'Brien, N. Soheilnia, Y. Yang, N.P. Kherani, M. Gratzel, G.A. Ozin, N. tetreault, "See-through dye-sensitized solar cells: photonic reflectors for tandem and building integrated photovoltaics", *Adv. Mater.* 25, 5734-5741, **2013**.
12. N. Vsevolodov, "Biomolecular Electronics: An Introduction via Photosensitive Proteins", Birkhäuser Pub, **2012**.
13. G.K. Chandi, B.S. Gill, "Production and characterization of microbial carotenoids as an alternative to synthetic colors: a review", *Int. J. Food Prop.* 14, 503-513, **2011**.
14. D. Yu, M. Wang, G. Zhu, B. Ge, S. Liu, F. Huang, "Enhanced photocurrent production by bio-dyes of photosynthetic macromolecules on designed TiO<sub>2</sub> film", *Sci. Report.* 5, 9375-9382, **2015**.
15. Y. Lu, M. Yuan, Y. Liu, B. Tu, C. Xu, B. Liu, D. Zhao, J. Kong, "Photoelectric performance of bacteria photosynthetic proteins entrapped on tailored mesoporous WO<sub>3</sub>-TiO<sub>2</sub> films", *Langmuir*, 21, 4071-4076, **2005**.
16. H. A. Frank, G. W. Brudvig, "Redox functions of carotenoids in photosynthesis", *Biochem.*, 43, 8607-8615, **2004**.
17. X.F. Wang, J. Xiang, P. Wang, Y. Koyama, S. Yanagida, Y. Wada, K. Hamad, S. Sasaki, H. Tamiaki, "Dye-sensitized solar cells using a chlorophyll a derivative as the sensitizer and carotenoids having different conjugation lengths as redox spacers", *Chem. Phys. Lett.* 408, 409-414, **2005**.
18. H. A. Frank, G.W. Brudvig, "Redox functions of carotenoids in photosynthesis", *Biochemistry*, 43, 8607-8615, **2004**.
19. G.J. Magis, M.J. den Hollander, W.G Onderwaater, J.D. Olsen, C.N. Hunter, T.J. Aartsma, R.N. Frese, "Light harvesting, energy transfer and electron cycling of a native photosynthetic membrane adsorbed onto a gold surface", *Biochim. Biophys. Acta. Biomembr.* 1798, 637-645, **2010**.
20. K. Woronowicz, S. Ahmed, A.A. Biradar, A.V. Biradar, D.P. Birnie, T. Asefa, R.A. Niederman, "Near- IR absorbing solar cell sensitized with bacterial photosynthetic membranes", *Photochem. Photobiol.* 88, 1467-1472, **2012**.
21. Q. Fu, C. Zhao, S. Yang, J. Wu, "The photoelectric performance of dye-sensitized solar cells fabricated by assembling pigment-protein complexes of purple bacteria on nanocrystalline photoelectrode", *Mater. Lett.* 129, 195-197, **2014**.
22. M. Dowrkin, S. Falkow, "The Prokaryotes: Vol. 3: Archaea. bacteria: firmicutes, actinomycetes", Springer, New York, **2006**.
23. D. Correa-Llanten, M. J. Amenabar, J. M. Blamey, "Antioxidant capacity of novel pigments from an Antarctic bacterium", *J. Microbiol.* 50, 374-379, **2012**.
24. T. Montagni, P. Enciso, J. J. Marizcurrena, S. C. Sowinski, C. Fontana, D. Daryt, M. F. Cerda, "Dye sensitized solar cells based on Antarctic *Hymenobacter* sp. UV11 dyes", *Environ. Sustain.* 1, 89-97, **2018**.
25. S. K. Srivastava, P. Piwek, S. R. Ayakar, A. Bonakdarpour, D.P. Wilkinson, V.G. Yadav, "A biogenic photovoltaic material", *Small*, 14, 1870121, **2018**.
26. R. Guzel, F. Yediyidiz, Y.S. Ocak, F. Yilmaz, A. Ersoz, R. Say, "Photosystem (PSII)-based hybrid nanococktails for the fabrication of BIO-DSSC and photo-induced memory device", *J. Photochem. Photobiol. A Chem.* 401, 112743, **2020**.
27. S. Ranjitha, V. Aroulmoji, T. Selvankumar, C. Sudhakar, V. Harihakar, "Synthesis and development of novel sensitizer from spirulina PSII pigment with silver doped TiO<sub>2</sub> nano particles for bio-sensitized solar cells", *Biomass Bioenergy*, 141, 105733, **2020**.
28. P. P. Kanekar, S.O. Kulkarni, C. V. Jagtapi, V. S. Kadam, H. M. Pathan, "A novel approach for the development of bio-sensitized solar cell using cell lysate of a haloarchaeon *Halostagnicola larsenii* RG2.14 (MCC 2809) containing bacteriorhodopsin", *Sol. Energy*, 212, 326-331, **2020**.
29. T. Joerger, K. Joerger, E. Olsson, C.G. Grangvist, "Bacteria as workers in the livingfactory: metal-accumulating bacteria and their potential for materials science", *Tre. BioTechnol.* 21, 15-22, **2021**.
30. A. H. Zyoud, M. Dwikat, S. Al-Shakhshir, S. Ateeqr, J. Istaiwa, M. H. Halal, M. Kharoof, S. Alami, H. Kelani, G. Campet, H. S. Hilal, "ZnO nanoparticles in complete photo-mineralization of aqueous gram negative bacteria and their organic content with direct solar light", *Sol. Energy Mater. Sol.* 169, 30-37, **2019**.
31. S. Bhandari, D. Mondal, S.K. Nataraj, R. G. Balakrishna, "Biomolecule-derived quantum dots for sustainable optoelectronics", *Nanoscale. Adv.* 1, 913-936, **2019**.
32. A. Mershin, K. Matsumoto, L. Kaiser, D. Yu, M. Vaughn, M. K. Nazeeruddin, B.D. Bruce, M. Gratzel, S. Zhang, "Self-assembled photosystem-I biophotovoltaics on nanostructured TiO<sub>2</sub> and ZnO", *Sci. Rep.* 234, 1-7, **2012**.
33. E. Maleki, M. Ranjbar, S.A. Kahani, "The effect of antisolvent dropping delay time on the morphology and structure of the perovskite layer in the hole transport material free perovskite solar cells", *Prog. Color Colorants Coat.* 14, 47-54, **2021**.
34. Y. Qian, Y. Ni, S. Yue, W. Li, S. Chen, Z. Zhang, L. Xie, M. Sun, Y. Zhao, W. Huang, "Spiro[fluorene-9,9'-xanthene]- based universal hosts for understanding structure-property relationships in RGB and white PhOLEDs", *RSC Adv.* 5, 29828-29836, **2018**.
35. B. B. Carbas, A. M. Onal, "New fluorene-xanthene-based hybrid electrochromic and fluorescent polymers via donor-acceptor approach", *Electrochim. Acta*, 66, 38-44, **2012**.